·临床研究•

磁共振灌注成像在脑胶质瘤定性诊断 与术前分级中的意义

侯旻,周巧娟,汪秀玲

摘要 目的:探讨磁共振灌注成像(PWI)在脑胶质瘤的定性诊断及术前分级中的价值。方法:收集经手术病理确诊为脑胶质瘤的50例患者临床资料,患者均术前进行PWI扫描检查并且分析PWI灌注成像,测量并且比较肿瘤实质区、瘤周水肿区及健侧白质区脑血容量(CBV)数据,及计算比值得到的相对脑血容量(rCBV)。结果:50例脑胶质瘤患者肿瘤实质区及瘤周水肿区CBV值均显著高于健侧白质区且肿瘤实质区CBV值显著高于瘤周水肿区(P<0.05)。高级别脑胶质瘤肿瘤实质区和瘤周水肿区rCBV值均显著高于低级别脑胶质瘤(P<0.05)。在对高、低级别脑胶质瘤的分级中,rCBV值曲线下面积(AUC)为90.2%,rCBV值诊断不同级别脑胶质瘤的诊断阈值是3.126,敏感度是85.3%,特异度是89.2%。结论:PWI对脑胶质瘤的定性诊断及术前分级有重要参考价值。

关键词 PWI;脑胶质瘤;诊断价值

中图分类号 R741;R739.41;R445.2 文献标识码 A **DOI** 10.16780/j.cnki.sjssgncj.20191190 **本文引用格式:**侯旻, 周巧娟, 汪秀玲. 磁共振灌注成像在脑胶质瘤定性诊断与术前分级中的意义[J]. 神经损伤与功能重建, 2021, 16(10): 617-618.

脑胶质瘤是最常见的脑原发性肿瘤,约占所有原发性中枢神经系统肿瘤的27%,原发性中枢神经系统肿瘤的80%[1]。脑胶质瘤分为 I 级(恶性程度最低,预后最好)~IV级(恶性程度最高,预后最差)[2]。临床上,最常用的治疗手段是手术切除联合放化疗。术前的准确诊断对患者的分级及治疗方案的选择有十分重要的作用。磁共振灌注成像(perfusion weighted MRI, PWI)可以准确评价瘤内血管增生情况,对肿瘤恶性程度做出判断[3],能更准确判断脑胶质瘤病理分级。本研究回顾性分析了PWI 技术在脑胶质瘤定性诊断与术前分级中的应用价值,现报告如下。

1 资料与方法

1.1 临床资料

回顾性分析2018年1月至12月徐州医科大学附属医院收治的脑胶质瘤患者(经病理证实)50例, 男27例,女23例;年龄16~80岁;依照世界卫生组织(WHO)2007年中枢神经系统肿瘤病理分级标准将脑胶质瘤分为 I~Ⅳ级,其中低级别(I~Ⅱ级)20例,高级别(Ⅲ~Ⅳ级)30例。患者术前均行PWI扫描检查。患者及其家属均知情同意且本研究通过医院伦理委员会审核和批准。

1.2 检查方法

所有患者均采用GE3.0T超导型磁共振仪对头部成像。使用梯度切换率为120 mt/m/ms,使用16通道头颅相控阵线圈,梯度场强度为33 mT/m。

MRI扫描包括常规MRI平扫(T₂加权成像,T₁加权成像,T₂液体衰减反转恢复、扩散加权成像)、T₁增强(轴位、矢状位、冠状位)以及PWI。在给患者团注 20 mL 生理盐水后,以 3 mL/s 的速率给患者注射

0.2 mol/kg的钆酸二甲葡胺盐注射液(GD-DTPA),使用梯度回波平面成像(GRE-EPI)序列进行PWI扫描。

1.3 图像分析与数据处理

PWI 成像数据自动传送到 AW4.6 工作站 (advantage for windows; GE Healthcare),并使用 Functool v.9.4.05 分析软件(GE Healthcare)进行分析。分别选取肿瘤实质区及瘤周水肿区的3个感兴趣区(ROI,大小为25~40 mm2)并对其进行手工绘制,测量所选区域的脑血容量(cerebral blood volume, CBV),注意避开肿瘤囊变、坏死、出血的区域,分别算出肿瘤实质区和瘤周水肿区的CBV的平均值,并取相应对侧正常脑白质区CBV值作为参考基准,计算出病变区(包括肿瘤实质区和瘤周水肿区)与健侧白质区的比值,得到的比值即为相对脑血容量(rCBV)。

1.4 统计学处理

所得资料采用SPSS 19.0统计分析数据。计量资料采用 $(\bar{x}\pm s)$ 表示,采用方差分析对肿瘤不同区域CBV值进行比较,采用独立样本 t检验对不同级别脑胶质瘤的 rCBV值进行比较,采用ROC 曲线下面积(AUC)评价 rCBV值对不同级别脑胶质瘤的诊断价值,确定其诊断阈值、敏感度及特异度,P<0.05为差异有统计学意义。

2 结果

2.1 病理学检查结果

按照世界卫生组织(WHO)2007年病理分级标准,低级别脑胶质瘤($I \sim II$ 级)20例,其中I级8例、II级12例;高级别脑胶质瘤($III \sim IV$ 级)30例,其中III级13例、IV级17例。

2.2 肿瘤不同区域 CBV 值比较

作者单位 徐州医科大学附属 医院医学影像科 江苏 徐州 221000 收稿日期 2019-09-06 通讯作者 汪秀玲 xuzhouwangxl@ hotmail.com 50 例脑胶质瘤患者肿瘤实质区及瘤周水肿区 CBV 值均显著高于健侧白质区 (*P*<0.05),肿瘤实质区 CBV 值显著高于瘤周水肿区 (*P*<0.05),见表 1。

表1 50 例脑胶质瘤患者肿瘤不同区域 CBV 值比较 (mL/100 g.x±s)

	(
肿瘤不同区域	例数	CBV
肿瘤实质区	50	110.34±68.27 ^{©2}
瘤周水肿区	50	51.25±9.13 ^①
健侧白质区	50	33.46 ± 11.49
P		< 0.01

注:与健侧白质区比较,[®]P<0.05;与瘤周水肿区比较,[®]P<0.05

2.3 不同级别脑胶质瘤肿瘤实质区、瘤周水肿区 rCBV 值比较 50 例脑胶质瘤患者中,高级别脑胶质瘤患者肿瘤实质区和 瘤周水肿区 rCBV 值均显著高于低级别脑胶质瘤患者 (P<0.05),见表2。

表2 不同级别脑胶质瘤患者肿瘤实质区、瘤周水肿区 rCBV 值比较(x±s)

组别	例数	区域	rCBV
高级别脑胶质瘤	30	肿瘤实质区	4.88±1.35 ^①
		瘤周水肿区	$1.62 \pm 0.66^{\odot}$
低级别脑胶质瘤	20	肿瘤实质区	1.97 ± 0.49
		瘤周水肿区	0.73 ± 0.21
P			< 0.01

注:与低级别脑胶质瘤比较,[©]P<0.05

2.4 ROC 曲线分析 rCBV 值对不同级别脑胶质瘤的诊断价值

根据ROC曲线分析,在对高、低级别脑胶质瘤的分级中,rCBV值曲线下面积(AUC)为90.2%;rCBV值诊断不同级别脑胶质瘤的诊断阈值是3.126,敏感度是85.3%,特异度是89.2%,见图1。

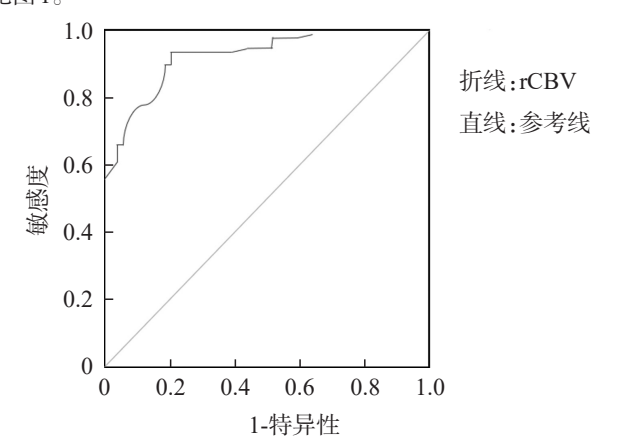


图1 ROC 曲线分析 rCBV 值对不同级别脑胶质瘤的诊断价值

3 讨论

不同级别脑胶质瘤的治疗方法有所差异,高级别脑胶质瘤 患者术后需联合放疗或化疗,而低级别不需要,所以术前分级对 于脑胶质瘤的临床治疗及预后至关重要[4.5]。常规磁共振扫描 可显示肿瘤部位及大致范围,但是对脑胶质瘤的分级无法做出 诊断;病理学诊断方法有创且穿刺活检结果取决于材料部位和 样本量,难以反映整个瘤体情况^[6]。磁共振功能成像则弥补了常规磁共振及病理组织诊断的不足。

PWI作为一种无创性测量脑灌注的新技术,可用来反映脑 组织的血流动力学改变。脑胶质瘤的恶性程度与肿瘤的血管多 少密切相关,高级别脑胶质瘤的血管增生程度明显高于低级别 脑胶质瘤,故PWI较常规MRI可提供更多的脑胶质瘤分级的诊 断信息[79]。本研究评价了rCBV在脑胶质瘤分级诊断中的应用 价值,结果显示与健侧白质区比较,肿瘤实质区、瘤周水肿区 CBV 值显著升高;与瘤周水肿区比较,肿瘤实质区 CBV 值显著 升高,以上结果说明脑胶质瘤患者肿瘤组织的脑血容量相较正 常脑组织显著增加。对于不同级别的脑胶质瘤,结果显示高级 别脑胶质瘤患者肿瘤实质区、瘤周水肿区rCBV值均显著高于 低级别脑胶质瘤患者,这可能是由于脑胶质瘤内血管体积与数 目的增加导致CBV增加。ROC曲线分析rCBV阈值为3.126,能 比较准确鉴别出高低级别脑胶质瘤,敏感度为85.3%,特异度为 89.2%,以上结果提示PWI可用于脑胶质瘤高低级别的诊断评 估,rCBV可以作为脑胶质瘤血流动力学反映的良好指标,该结 果与Ma等[10]的研究结果相吻合。

综上所述,对脑胶质瘤准确的术前诊断有利于及时有效地 为患者确定最恰当的治疗方案,PWI技术能从多角度、多方面准 确反映微血管增生与组织灌注等信息,较常规检查方法,具有无 创、准确等优点,其中rCBV值对脑胶质瘤定性诊断与术前分级 具有重要价值。

参考文献

- [1] Ostrom QT, Gittleman H, Fulop J, et al. CBTRUS statistical report: Primary brain and central nervous system tumors diagnosed in the United States in 2008-2012[J]. Neuro Oncol, 2015, 17: iv1-iv62.
- [2] Louis DN, Ohgaki H, Wiestler OD, et al. The 2007 WHO classification of tumours of the central nervous system[J]. Acta Neuropathol, 2007, 114: 97-109.
- [3] 罗楚涵, 翟瑄. 磁共振灌注成像在脑胶质瘤诊疗的应用进展[J]. 中国 微侵袭神经外科杂志, 2019, 24: 238-240.
- [4] 王大堃, 任静, 刘辉, 等. 磁共振灌注加权成像与弥散加权成像在脑胶质瘤分级诊断中的应用[J]. 现代生物医学进展, 2018, 18: 3115-3118, 3152
- [5] Soliman RK, Gamal SA, Essa AA, et al. Preoperative grading of glioma using dynamic susceptibility contrast MRI: Relative cerebral blood volume analysis of intra-tumoural and peri-tumoural tissue[J]. Clin Neurol Neurosurg, 2018, 167: 86-92.
- [6] 柴茂林, 马党捐. 磁共振功能成像在脑胶质瘤诊断中的应用价值[J]. 陕西医学杂志, 2019, 48: 603-606.
- [7] Kerkhof M, Hagenbeek RE, van der Kallen BFW, et al. Interobserver variability in the radiological assessment of magnetic resonance imaging (MRI) including perfusion MRI in glioblastoma multiforme[J]. Eur J Neurol, 2016, 23: 1528-1533.
- [8] Verger A, Filss CP, Lohmann P, et al. Comparison of 18F-FET PET and perfusion-weighted MRI for glioma grading: A hybrid PET/MR study[J]. Eur J Nucl Med Mol Imaging, 2017, 44: 2257-2265.
- [9] Togao O, Hiwatashi A, Yamashita K, et al. Grading diffuse gliomas without intense contrast enhancement by amide proton transfer MR imaging: Comparisons with diffusion- and perfusion-weighted imaging[J]. Eur Radiol, 2017, 27: 578-588.
- [10] Ma H, Wang ZZ, Xu K, et al. Three-dimensional arterial spin labeling imaging and dynamic susceptibility contrast perfusion-weighted imaging value in diagnosing glioma grade prior to surgery[J]. Exp Ther Med, 2017, 13: 2691-2698.

(本文编辑:雷琪)